



# COMPUTAÇÃO GRÁFICA

## Unidade 10 – Visibilidade e Recorte

Ivan Nunes da Silva



## O Problema de Visibilidade

- Numa cena tridimensional, normalmente não é possível ver todas as superfícies de todos os objetos;
- Não queremos que objetos ou partes de objetos não visíveis apareçam na imagem;
- Problema importante que tem diversas ramificações:
  - ♦ Descartar objetos que não podem ser vistos (*culling*);
  - ♦ Recortar objetos de forma a manter apenas as partes que podem ser vistas (*clipping*);
  - ♦ Desenhar apenas partes visíveis dos objetos:
    - Em aramado (*hidden-line algorithms*)
    - Superfícies (*hidden surface algorithms*)
  - ♦ Sombras (visibilidade a partir de fontes luminosas).



## Espaço do Objeto x Espaço da Imagem

- Métodos que trabalham no **espaço do objeto**:
  - ♦ Entrada e saída são dados geométricos.
  - ♦ Independente da resolução da imagem.
  - ♦ Menos vulnerabilidade a *aliasing*.
  - ♦ Rasterização ocorre depois.
  - ♦ Exemplos:
    - Maioria dos algoritmos de recorte e *culling*.
      - Recorte de segmentos de retas.
      - Recorte de polígonos.
- Métodos que trabalham no **espaço da imagem**:
  - ♦ Entrada é vetorial e saída é matricial.
  - ♦ Dependente da resolução da imagem.
  - ♦ Visibilidade determinada apenas em pontos (pixels).
  - ♦ Podem aproveitar aceleração por hardware.
  - ♦ Exemplos:
    - Z-buffer
    - Scan-line

3



## Recorte (*Clipping*)

- **Problema Definido Por:**
  - ♦ Geometria a ser recortada: pontos, retas, planos, curvas, superfícies.
  - ♦ Restrições de recorte: Janela (2D).
- **Recorte de Segmento de Reta x Retângulo**
  - ♦ Entrada:
    - Segmento de reta  $P_1 - P_2$
    - Janela alinhada com eixos  $(x_{min}, y_{min}) \times (x_{max}, y_{max})$ .
  - ♦ Saída:
    - Segmento recortado.
  - ♦ Principais Métodos:
    - Cohen-Sutherland.
    - Liang-Barsky.

4



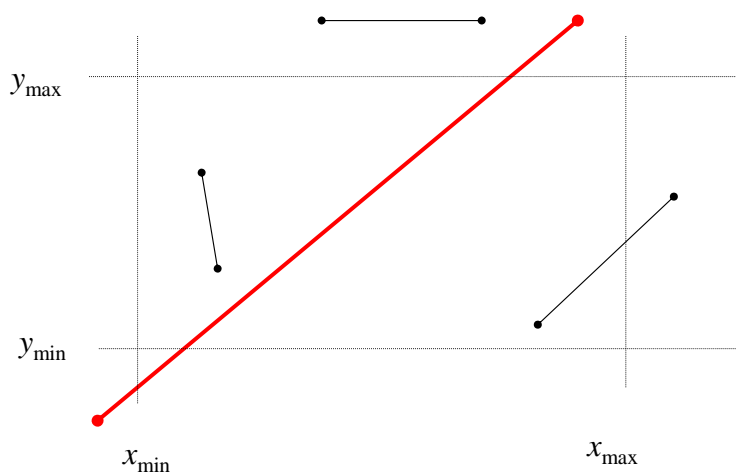
## Cohen-Sutherland

- Vértices do segmento são classificados com relação a cada semi-espço plano que delimita a janela:
  - ♦  $x \geq x_{\min}$  e  $x \leq x_{\max}$ ;  $y \geq y_{\min}$  e  $y \leq y_{\max}$
- Se ambos os vértices são classificados como fora, descartar o segmento (totalmente invisível).
- Se ambos são classificados como dentro, testar o próximo semi-espço.
- Se um vértice dentro e outro fora, computar o ponto de interseção  $Q$  e continuar o algoritmo com o segmento recortado ( $P_1$ - $Q$  ou  $P_2$ - $Q$ ).

5



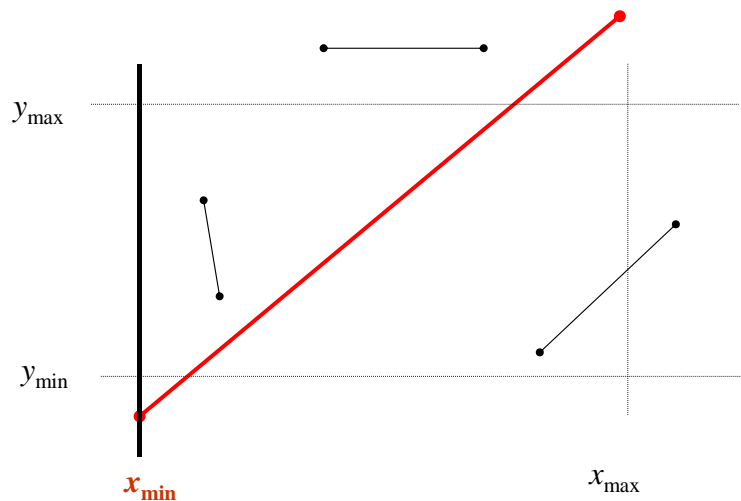
## Cohen-Sutherland



6



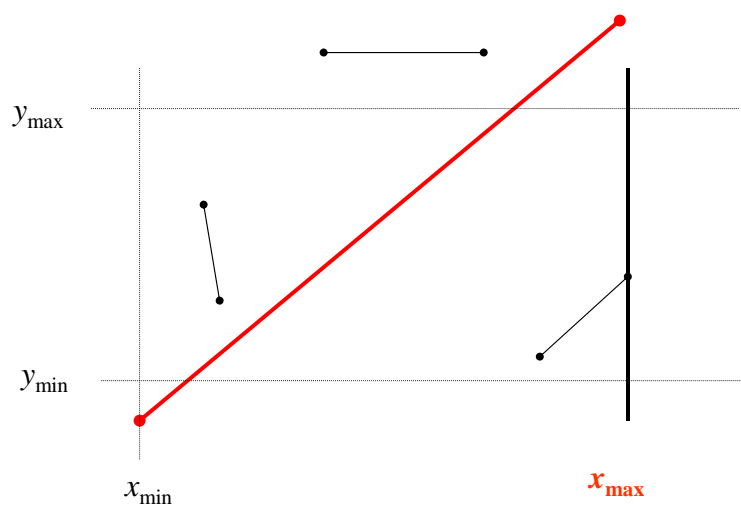
# Cohen-Sutherland



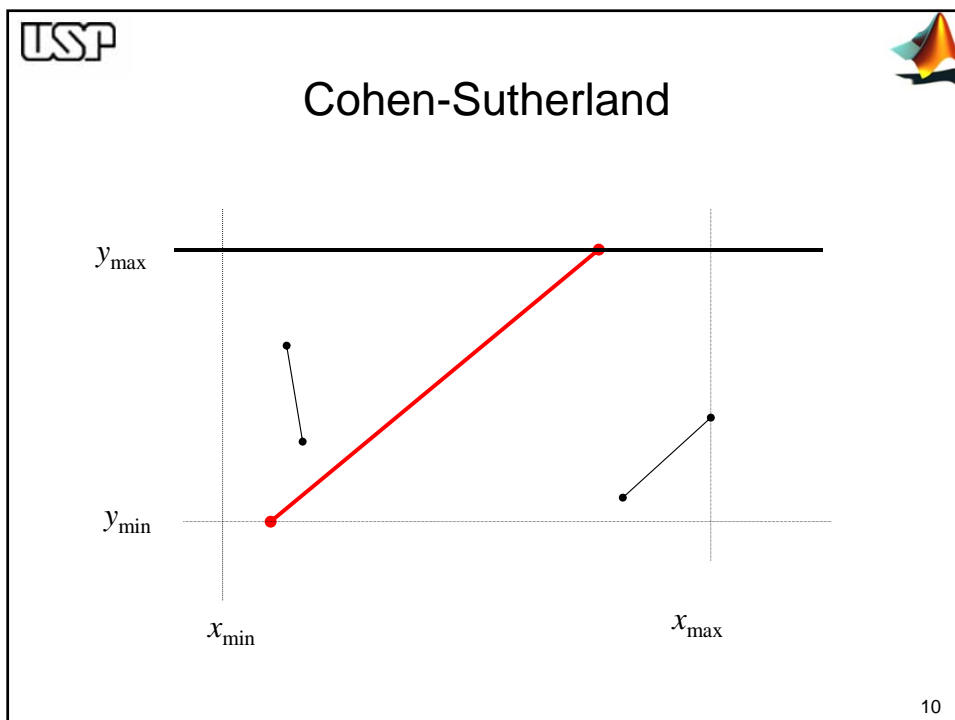
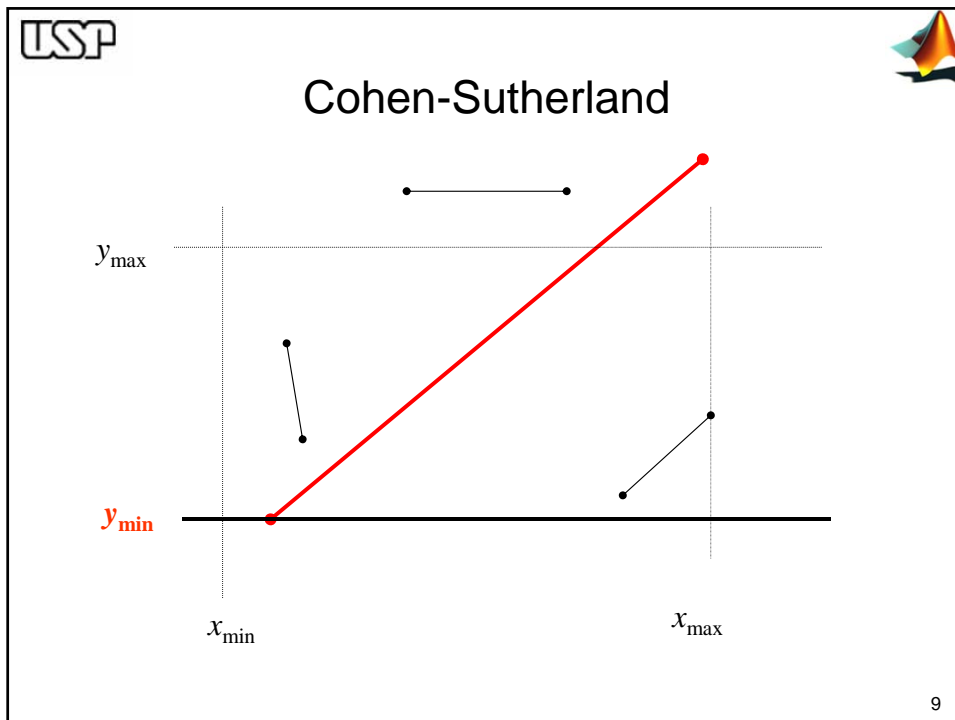
7



# Cohen-Sutherland



8





## Algoritmo de Liang-Barsky

- É mais eficiente visto que não precisamos computar pontos de interseção irrelevantes.
- O funcionamento deste algoritmo consiste em realizar vários testes comparativos de domínio antes de se calcular os pontos de interseção.
- Refinamento que consiste em representar a reta em forma paramétrica, ou seja:

$$x = x_1 + t \cdot (x_2 - x_1) = x_1 + t \cdot \Delta x, \text{ onde } \Delta x = x_2 - x_1$$

$$y = y_1 + t \cdot (y_2 - y_1) = y_1 + t \cdot \Delta y, \text{ onde } \Delta y = y_2 - y_1$$

- Porção da reta não recortada deve satisfazer:

$$x_{\min} \leq x_1 + t \cdot \Delta x \leq x_{\max}$$

$$y_{\min} \leq y_1 + t \cdot \Delta y \leq y_{\max}$$

11



## Algoritmo de Liang-Barsky

- A partir dessas duas expressões: 
$$\begin{cases} x_{\min} \leq x_1 + t \cdot \Delta x \leq x_{\max} \\ y_{\min} \leq y_1 + t \cdot \Delta y \leq y_{\max} \end{cases}$$

obtêm-se as 4 desigualdades seguintes, as quais representam as fronteiras de seus Semi-Espaços (SE):

$$1) -t_1 \cdot \Delta x \leq x_1 - x_{\min}, \text{ referente ao SE "Esquerdo"}$$

$$2) t_2 \cdot \Delta x \leq x_{\max} - x_1, \text{ referente ao SE "Direito"}$$

$$3) -t_3 \cdot \Delta y \leq y_1 - y_{\min}, \text{ referente ao SE "Inferior"}$$

$$4) t_4 \cdot \Delta y \leq y_{\max} - y_1, \text{ referente ao SE "Superior"}$$

- Linha infinita intercepta semi-espacos planos para os seguintes valores do parâmetro  $t$ :

$$t_k = \frac{q_k}{p_k} \begin{cases} k=1 \Rightarrow p_1 = -\Delta x & ; & q_1 = x_1 - x_{\min} \\ k=2 \Rightarrow p_2 = \Delta x & ; & q_2 = x_{\max} - x_1 \\ k=3 \Rightarrow p_3 = -\Delta y & ; & q_3 = y_1 - y_{\min} \\ k=4 \Rightarrow p_4 = \Delta y & ; & q_4 = y_{\max} - y_1 \end{cases}$$

12



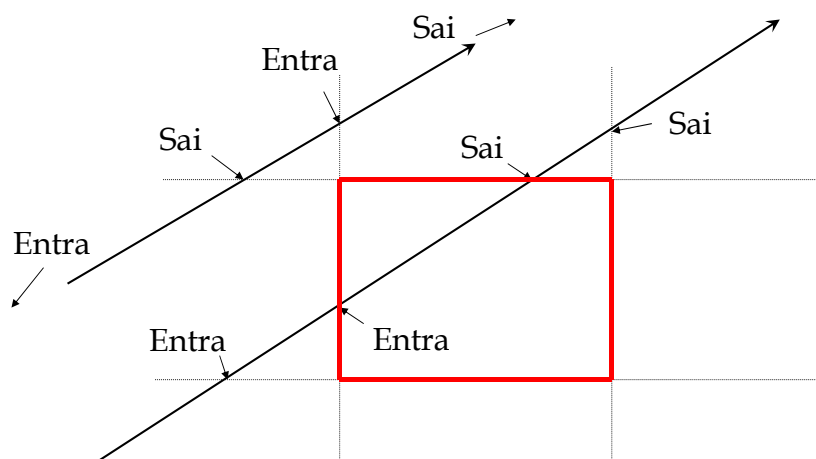
## Algoritmo de Liang-Barsky

- Se  $p_k < 0$ , à medida que  $t$  aumenta, reta **entra** no semi-espaço plano;
- Se  $p_k > 0$ , à medida que  $t$  aumenta, reta **sai** do semi-espaço plano;
- Se  $p_k = 0$ , reta é paralela ao semi-espaço plano (recorte é trivial);
- Se existe um segmento da reta dentro do retângulo, classificação dos pontos de interseção deve ser “**entra, entra, sai, sai**”.

13



## Algoritmo de Liang-Barsky



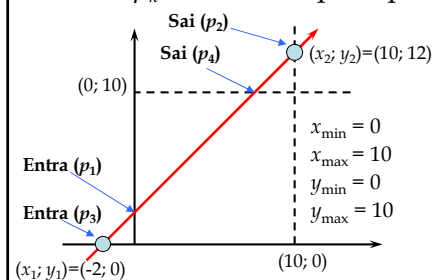
14



## Algoritmo de Liang-Barsky

$$t_k = \frac{q_k}{p_k} \begin{cases} k=1 \Rightarrow p_1 = -\Delta x & ; & q_1 = x_1 - x_{\min} \quad (\text{Esquerdo}) \\ k=2 \Rightarrow p_2 = \Delta x & ; & q_2 = x_{\max} - x_1 \quad (\text{Direito}) \\ k=3 \Rightarrow p_3 = -\Delta y & ; & q_3 = y_1 - y_{\min} \quad (\text{Inferior}) \\ k=4 \Rightarrow p_4 = \Delta y & ; & q_4 = y_{\max} - y_1 \quad (\text{Superior}) \end{cases}$$

- Uma linha paralela a um dos lados da *viewport* tem  $p_k=0$ .
- Quando  $p_k < 0$ , a linha está entrando na *viewport*.
- Quando  $p_k > 0$ , a linha está saindo da *viewport*.
- Para  $p_k \neq 0$ , tem-se que o ponto de interseção é dado por  $t_k = q_k/p_k$ .



$$\Delta x = x_2 - x_1 = 10 - (-2) = 12 ;$$

$$\Delta y = y_2 - y_1 = 12 - 0 = 12$$

$$\begin{cases} p_1 = -12 \Rightarrow q_1 = -2 \quad (\text{Entra no SE esquerdo}) \\ p_2 = 12 \Rightarrow q_2 = 12 \quad (\text{Sai do SE direito}) \\ p_3 = -12 \Rightarrow q_3 = 0 \quad (\text{Entra no SE inferior}) \\ p_4 = 12 \Rightarrow q_4 = 10 \quad (\text{Sai do SE superior}) \end{cases}$$

Assim, a reta corta a *viewport*, pois tem-se a sequência "entra, entra, sai, sai"

15

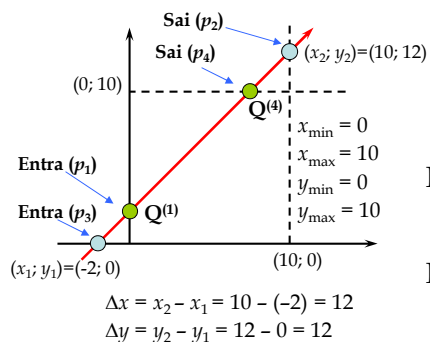


## Algoritmo de Liang-Barsky

- Para o exemplo, calcula-se então os parâmetros  $t_k$  que possibilitam obter os pontos de interseção da reta com a respectiva *viewport*.
- Neste caso, utiliza-se os valores de  $t_k$  correspondentes as interseções  $p_1$  e  $p_4$ .

$$\text{Para } k=1 \Rightarrow t_1 = q_1/p_1 = (x_1 - x_{\min})/(-\Delta x) = -2/-12 \Rightarrow t_1 = 1/6$$

$$\text{Para } k=4 \Rightarrow t_4 = q_4/p_4 = (y_{\max} - y_1)/\Delta y = 10/12 \Rightarrow t_4 = 5/6$$



$$x = x_1 + t \cdot \Delta x \Rightarrow x = -2 + 12 \cdot t$$

$$y = y_1 + t \cdot \Delta y \Rightarrow y = 0 + 12 \cdot t$$

$$\text{Para } t = t_1 = 1/6 \begin{cases} x = 0 \\ y = 2 \end{cases} \Rightarrow Q^{(1)} = (0; 2)$$

$$\text{Para } t = t_4 = 5/6 \begin{cases} x = 8 \\ y = 10 \end{cases} \Rightarrow Q^{(4)} = (8; 10)$$





## Comparação

- Cohen-Sutherland
  - *Clipping* repetitivo, alto custo computacional.
  - Melhor utilização quando a maioria das linhas se encaixam nos casos triviais de aceitação e rejeição.
- Liang-Barsky
  - Cálculo de  $t$  para as interseções (baixo custo computacional).
  - Computação dos pontos  $(x,y)$  de corte é feita apenas uma vez.
  - Melhor usado quando a maioria das linhas precisam ser recortadas.

17



## Algoritmos de Visibilidade

- Visibilidade é um problema complexo que não tem *uma* solução “ótima”.
  - ♦ O que é ótima?
    - Pintar apenas as superfícies visíveis?
    - Pintar a cena em tempo mínimo?
  - ♦ Coerência no tempo?
    - Cena muda?
    - Objetos se movem?
  - ♦ Qualidade é importante?
    - *Antialiasing*
  - ♦ Aceleração por Hardware?

18



## Complexidade do Problema

- Fatores que influenciam o problema:
  - ♦ Número de pixels
    - Em geral, procura-se minimizar o número total de pixels pintados.
    - Resolução da imagem.
  - ♦ Número de objetos
    - Técnicas de “*culling*” descarta objetos desnecessários.
    - Recorte pode aumentar o número de objetos.

19



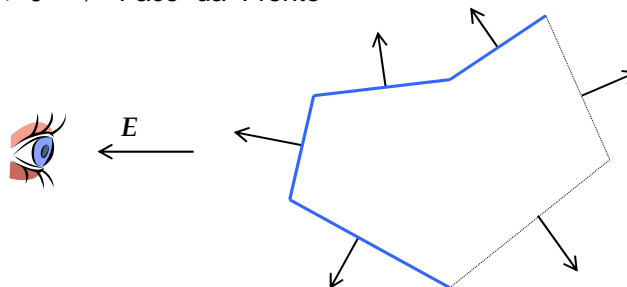
## Backface Culling

- Hipótese: cena é composta de objetos poliédricos fechados.
- Podemos reduzir o número de faces aproximadamente à metade.
  - ♦ Faces de trás não precisam ser pintadas.
- Como determinar se a face é de trás?

$$\vec{N} \cdot \vec{E} < 0 \Rightarrow \text{Face da Trás}$$

$$\vec{N} \cdot \vec{E} > 0 \Rightarrow \text{Face da Frente}$$

$$\cos(\theta) = \frac{\vec{N} \cdot \vec{E}}{|\vec{N}| \cdot |\vec{E}|}$$



20



## Z-Buffer

- Método que opera no espaço da imagem.
- Manter para cada pixel um valor de profundidade (*z-buffer* ou *depth buffer*).
- Início da renderização:
  - ♦ *Buffer* de cor = cor de fundo
  - ♦ *z-buffer* = profundidade máxima
- Durante a rasterização de cada polígono, cada pixel passa por um *teste de profundidade*.
  - ♦ Se a profundidade do pixel for menor que a registrada no *z-buffer*, então:
    - Pintar o pixel e atualizar o buffer de cor
    - Atualizar o buffer de profundidade
  - ♦ Caso contrário, ignorar.



A simple three dimensional scene



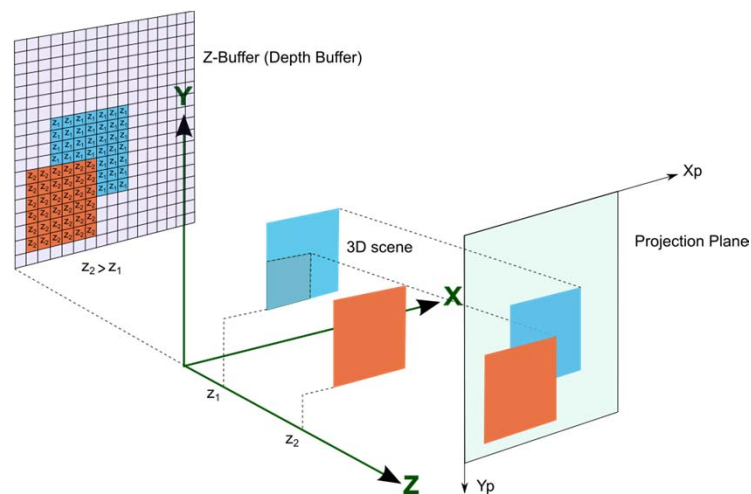
Z-buffer representation

21



## Z-Buffer

- Representação:



22



## Z-Buffer

- **Vantagens:**

- ♦ Simples e muito comumente implementado em Hardware.
- ♦ Objetos podem ser desenhados em qualquer ordem.

- **Desvantagens:**

- ♦ Rasterização independente de visibilidade:
  - Lento se o número de polígonos é grande.
- ♦ Erros na quantização de valores de profundidade podem resultar em imagens inaceitáveis .
- ♦ Dificulta o uso de transparência ou técnicas de anti-serrilhado.
  - É preciso ter informações sobre os vários polígonos que cobrem cada pixel.
  - [Z buffer Aplicado.avi](#)
  - [Z buffer Conceito.avi](#)

23



## Algoritmo “Scan-Line”

- Ideia é aplicar o algoritmo de rasterização de polígonos a todos os polígonos da cena simultaneamente.
- Explora coerência de visibilidade.
- Em sua concepção original requer que polígonos se interceptem apenas em vértices ou arestas:
  - ♦ Pode ser adaptado para lidar com faces que se interceptam.
  - ♦ Pode até mesmo ser estendido para rasterizar sólidos.

24



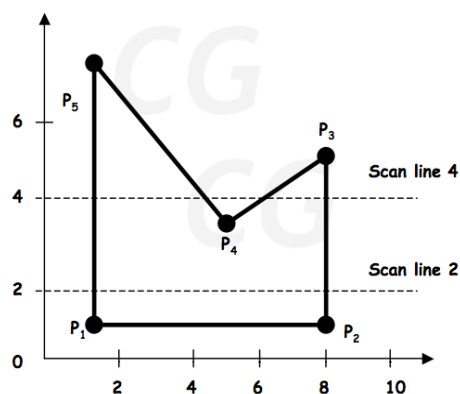
## Algoritmo "Scan-Line"

- Ordena-se todas as arestas de todos os polígonos por  $y_{\min}$ .
- Para cada plano de varredura  $y$ , fazer:
  - ♦ Para cada polígono, fazer:
    - Determinar intervalos  $x_i$  de interseção com plano de varredura.
  - ♦ Renderizar resultado da linha de varredura.

25



## Algoritmo "Scan-Line"



### SCAN LINE 2

$x < 1 \rightarrow$  fora do polígono  
 $1 \leq x \leq 8 \rightarrow$  dentro do polígono  
 $x > 8 \rightarrow$  fora do polígono

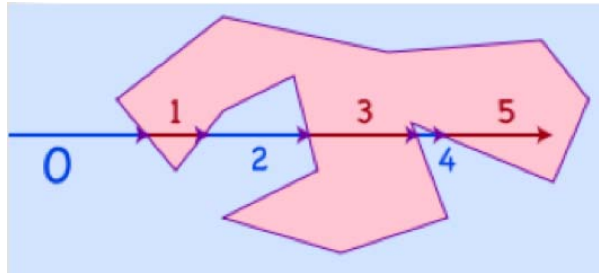
### SCAN LINE 4

$x < 1 \rightarrow$  fora do polígono  
 $1 \leq x \leq 4 \rightarrow$  dentro do polígono  
 $4 < x < 6 \rightarrow$  fora do polígono  
 $6 \leq x \leq 8 \rightarrow$  dentro do polígono  
 $x > 8 \rightarrow$  fora do polígono

26



## Algoritmo "Scan-Line"



Quando o número de arestas do polígono interceptadas é ímpar, está dentro; quando é par, está fora.

27



## Algoritmo "Scan-Line"

- Vantagens
  - ♦ Algoritmo flexível que explora a coerência entre pixels de uma mesma linha de varredura.
  - ♦ Razoável independência da resolução da imagem.
  - ♦ Filtragem e *antialiasing* podem ser incorporados com um pouco de trabalho.
  - ♦ Pinta cada pixel apenas uma vez.
  - ♦ Razoavelmente imune a erros de quantização em z.
- Desvantagens
  - ♦ Coerência entre linhas de varredura não é explorada.
    - Polígonos invisíveis são descartados múltiplas vezes.
  - ♦ Relativa complexidade.
  - ♦ Não muito próprio para implementação em Hardware.

28